

УДК 539.376

## ДЛИТЕЛЬНАЯ ПРОЧНОСТЬ МЕТАЛЛОВ ПРИ РАВНООСНОМ ПЛОСКОМ НАПРЯЖЕННОМ СОСТОЯНИИ

А. М. Локощенко, В. В. Назаров

Институт механики Московского государственного университета им. М. В. Ломоносова,  
119992 Москва

E-mails: loko@imec.msu.ru, inmec130@mail.ru

Приведены результаты испытаний, свидетельствующие о существенной зависимости длительной прочности металлов от вида напряженного состояния и способа кратковременного нагружения. Для описания полученных экспериментальных данных предложен вариант кинетической теории длительной прочности, содержащий векторный параметр поврежденности и учитывающий прочностную анизотропию и поврежденность, возникающую при кратковременном нагружении. Показано, что экспериментальные и теоретические значения времени до разрушения хорошо согласуются.

Ключевые слова: анизотропия, длительная прочность, металлы, поврежденность, равноосное плоское растяжение.

**1. Сравнение результатов испытаний при одноосном и двухосном растяжениях.** Рассмотрим одноосное ( $\sigma_1 = \sigma_0 > 0$ ,  $\sigma_2 = \sigma_3 = 0$ ) и равноосное плоское ( $\sigma_1 = \sigma_2 = \sigma_0 > 0$ ,  $\sigma_3 = 0$ ) напряженные состояния при одном и том же уровне напряжения  $\sigma_0$ . Результаты экспериментов [1–3] показывают, что время до разрушения  $t_1^*$  при одноосном растяжении значительно больше времени до разрушения  $t_2^*$  при двухосном растяжении ( $c = t_1^*/t_2^* > 1$ ).

В работе [1] приведены результаты экспериментов на тонкостенных трубчатых образцах из нержавеющей стали марки X18H10T при температуре 850 °С. В случае  $\sigma_0 = 50$  МПа среднее для 11 испытаний ( $t_1^* = 12 \div 30$  ч) значение  $t_1^* = 21,8$  ч, при этом  $t_2^* = 8,3$  ч, следовательно, отношение  $c = 2,6$ . В случае  $\sigma_0 = 60$  МПа среднее для шести испытаний ( $t_1^* = 6,7 \div 20,5$  ч) значение  $t_1^* = 15,4$  ч, при этом  $t_2^* = 5,1$  ч,  $c = 3$ . Результаты аналогичных испытаний другой серии образцов из стали марки X18H10T при температуре 850 °С приведены в [2]. При  $\sigma_0 = 60$  МПа средние значения  $t_1^* = 10$  ч,  $t_2^* = 4$  ч, поэтому  $c = 2,5$ .

В работе [3] приведены экспериментальные данные о длительной прочности прямоугольных пластин из алюминиевого сплава Al–Mg–Si при температуре 210 °С. При различных значениях напряжения  $\sigma_0$  отношение  $c = 1,8 \div 3,2$ .

Таким образом, имеющиеся экспериментальные данные свидетельствуют о том, что при добавлении к осевому растягивающему напряжению поперечного растягивающего напряжения той же величины время до разрушения уменьшается в несколько раз.

**2. Векторное представление величины поврежденности.** В расчетах на длительную прочность элементов конструкций, находящихся в условиях сложного напряженного состояния, как правило, используется критериальный подход. При данном подходе учитывается единственная характеристика напряженного состояния — так называемое

эквивалентное напряжение  $\sigma_e$ , в качестве которого рассматриваются различные комбинации компонент тензора напряжений, имеющие механический смысл либо максимального растягивающего напряжения, либо интенсивности касательных напряжений, либо разности максимального и минимального главных напряжений и т. д. Поскольку при одноосном и двухосном ( $\sigma_1 = \sigma_2 = \sigma_0, \sigma_3 = 0$ ) растяжениях рассматриваемые эквивалентные напряжения совпадают ( $\sigma_e = \sigma_0$ ), получить с использованием критериального соотношения  $t^* = t^*(\sigma_e)$  различные значения  $t_1^*, t_2^*$  невозможно.

В работе [4] для описания процесса накопления поврежденности в металле, находящемся в условиях ползучести при сложном напряженном состоянии, введена векторная характеристика поврежденности  $\omega$ . В декартовых координатах 1, 2, 3 скорости проекций  $\omega_k$  вектора  $\omega$  на направления главных напряжений  $\sigma_k$  определяются зависимостями

$$\frac{d\omega_k}{dt} = \dot{\omega}_k = \begin{cases} f(\sigma_k, \omega_k), & \sigma_k > 0, \\ 0, & \sigma_k \leq 0, \end{cases} \quad k = 1, 2, 3. \quad (1)$$

При этом выражение для поврежденности  $\omega = \sqrt{\omega_1^2 + \omega_2^2 + \omega_3^2}$  должно удовлетворять условиям  $\omega(0) = 0, \omega(t^*) = 1$ .

**3. Учет мгновенной поврежденности для изотропного материала.** При описании зависимости времени разрушения  $t^*$  от вида напряженного состояния [1–3] используем обобщение векторного подхода [4] с учетом поврежденности, накопленной в процессе нагружения. В качестве одной из возможных моделей, позволяющих получить различные значения времен  $t_1^*, t_2^*$  при растягивающих напряжениях, рассмотрим систему соотношений

$$d\omega_k = \frac{d\varphi(\sigma_k)}{d\sigma_k} d\sigma_k + f(\sigma_k) dt, \quad k = 1, 2, \quad (2)$$

где функция  $\varphi(\sigma_k)$  характеризует величину проекции  $\omega_k$  вектора поврежденности, накопленной в процессе нагружения;  $f(\sigma_k)$  — постоянная скорость проекции  $\omega_k$  во времени  $t$ . В случае одноосного растяжения из системы (2) следует

$$\omega_1(t) = \varphi(\sigma_0) + f(\sigma_0)t, \quad \omega_2 = 0, \quad t_1^* = [1 - \varphi(\sigma_0)]/f(\sigma_0), \quad (3)$$

в случае равноосного плоского ( $\sigma_1 = \sigma_2 = \sigma_0, \sigma_3 = 0$ ) растяжения из (2) находим

$$\omega_1(t) = \omega_2(t) = \varphi(\sigma_0) + f(\sigma_0)t, \quad t_2^* = [\sqrt{2}/2 - \varphi(\sigma_0)]/f(\sigma_0). \quad (4)$$

Из соотношений (3), (4) следует, что мгновенное значение поврежденности  $0 < \varphi(\sigma_0) < \sqrt{2}/2$ , а отношение  $c = t_1^*/t_2^* = (1 - \varphi(\sigma_0))/(\sqrt{2}/2 - \varphi(\sigma_0)) > \sqrt{2}$  при любых значениях  $\sigma_0$  в указанном диапазоне. Используя результаты испытаний [3], при  $\sigma_0 = 56,2$  МПа получаем  $t_1^* = 900$  ч,  $t_2^* = 280$  ч. При  $\varphi(\sigma_0) = 0,57, f(\sigma_0) = 4,78 \cdot 10^{-4}$  ч<sup>-1</sup> значения  $t_1^*, t_2^*$ , вычисленные по соотношениям (3), (4), совпадают с соответствующими экспериментально полученными значениями.

В кинетических соотношениях (2) отношение  $c$  зависит только от уровня поврежденности  $\varphi(\sigma_0)$ , накопленной при квазистатическом нагружении. Учет мгновенной поврежденности в форме (2) позволяет описать экспериментальные данные для  $c \geq \sqrt{2}$ . При этом полученный результат не зависит от характера накопления поврежденности при ползучести.

**4. Учет анизотропии материала и взаимозависимости компонент вектора поврежденности.** В процессе изготовления тонкостенных трубок материал может приобретать анизотропию прочностных характеристик. Например, в результате низкотемпературной термической обработки высокопрочностных стальных труб [5] отношение предела

кратковременной прочности в осевом направлении к пределу прочности в окружном направлении может принимать значения  $1,25 \div 2,50$  в зависимости от режима обработки.

Совместное действие в тонкостенных трубках внутреннего давления  $q$  и дополнительной осевой силы  $P$  приводит к двухосному растяжению  $\sigma_z > 0$ ,  $\sigma_\theta > 0$ ,  $\sigma_r = 0$ , поэтому согласно (1)  $\omega_r = 0$ . Уравнение (1) представим в виде

$$\frac{d\omega_k}{dt} = \begin{cases} G\omega_k^{-1}\omega^{2\gamma}(\hat{\sigma}_k)^n, & \hat{\sigma}_k > 0, \\ 0, & \hat{\sigma}_k \leq 0, \end{cases} \quad k = z, \theta, \quad (5)$$

где  $\hat{\sigma}_k$  — значения приведенных главных напряжений ( $\hat{\sigma}_z = \sigma_z/\alpha$ ,  $\hat{\sigma}_\theta = \sigma_\theta$ ;  $\alpha$  — коэффициент прочностной анизотропии, представляющий собой отношение  $\sigma_z/\sigma_\theta$  напряжений, приводящих к разрушению за одно и то же время  $t^*$  [6]);  $G$ ,  $n$ ,  $\gamma$  — постоянные. В случае одноосного растяжения из кинетического уравнения (5) следует

$$\begin{aligned} \frac{d\omega_z}{dt} &= G\omega_z^{2\gamma-1}\left(\frac{\sigma_z}{\alpha}\right)^n, & \omega_z &= \omega, & \frac{d}{dt}\left(\frac{\omega^{2(1-\gamma)}}{2(1-\gamma)}\right) &= G\left(\frac{\sigma_0}{\alpha}\right)^n, \\ \frac{\omega^{2(1-\gamma)}}{2(1-\gamma)} &= G\left(\frac{\sigma_0}{\alpha}\right)^n t_1, & t_1^* &= \frac{1}{2G(1-\gamma)(\sigma_0/\alpha)^n}. \end{aligned} \quad (6)$$

При двухосном ( $\sigma_1 = \sigma_2 = \sigma_0 > 0$ ,  $\sigma_3 = 0$ ) растяжении в результате преобразований и интегрирования уравнений (5) находим

$$\begin{aligned} \frac{d\omega^2}{dt} &= 2G\omega^{2\gamma}\left(\left(\frac{\sigma_0}{\alpha}\right)^n + \sigma_0^n\right), & \frac{\omega^{2(1-\gamma)}}{1-\gamma} &= 2G\left(\left(\frac{\sigma_0}{\alpha}\right)^n + \sigma_0^n\right)t_2, \\ t_2^* &= \frac{1}{2G(1-\gamma)\left((\sigma_0/\alpha)^n + \sigma_0^n\right)}. \end{aligned} \quad (7)$$

Из соотношений (6), (7) получаем

$$c = \frac{t_1^*}{t_2^*} = \frac{(\sigma_0/\alpha)^n + \sigma_0^n}{(\sigma_0/\alpha)^n} = 1 + \alpha^n. \quad (8)$$

В случае изотропного материала ( $\alpha = 1$ ) из формулы (8) следует единственное значение  $c = 2$ , в случае анизотропного материала ( $\alpha > 1$ )  $c > 2$ . Заметим, что отношение  $c$  зависит только от значений  $\alpha$ ,  $n$  и не зависит от других постоянных и от уровня напряженного состояния  $\sigma_0$ .

**5. Влияние пути кратковременного нагружения на длительную прочность с учетом анизотропии материала.** Для исследования влияния способа кратковременного нагружения на время до разрушения при постоянных компонентах тензора напряжений в лаборатории ползучести и длительной прочности металлов Института механики МГУ им. М. В. Ломоносова проведена следующая серия испытаний [2]. Тонкостенные образцы из нержавеющей стали марки X18H10T при температуре 850 °С испытывались на длительную прочность при комбинированном действии растяжения и внутреннего давления. После нагружения значения главных напряжений  $\sigma_z$ ,  $\sigma_\theta$  становились равными:  $\sigma_z = \sigma_\theta = \sigma_0 = 60$  МПа. В различных образцах заданное напряженное состояние достигалось тремя способами (программами) кратковременного нагружения. В двух образцах сначала создавалось давление, при котором  $\sigma_z = 30$  МПа,  $\sigma_\theta = 60$  МПа, затем в результате дополнительного нагружения растягивающей силой осевое напряжение  $\sigma_z$  достигало значения, равного 60 МПа, при этом времена до разрушения равны 6,0 и 6,1 ч соответственно. Два других образца нагружались по следующей программе: сначала создавалось осевое растяжение, затем дополнительное внутреннее давление, при этом времена до разрушения равны 2 и 3 ч соответственно. Согласно третьей программе нагружения попеременно

добавлялись малые приращения растягивающей силы  $P$  и внутреннего давления  $q$ , в этом случае образцы разрушились за времена 3,4 и 3,8 ч. Во всех шести испытаниях время нагружения составляло приблизительно 3 мин, что в среднем на два порядка меньше времени последующих испытаний при постоянных напряжениях. Несмотря на немногочисленность, проведенные экспериментальные исследования свидетельствуют о существенной зависимости длительной прочности от программы кратковременного нагружения. При описании этой зависимости будем полагать, что поврежденность материала  $\omega$  накапливается с момента начала приложения растягивающих напряжений, т. е. к моменту завершения программы нагружения ( $\sigma_z = \sigma_\theta = \sigma_0 = 60$  МПа) поврежденность материала принимает начальное значение  $\omega_0 = \omega(+0)$ . Далее поврежденность  $\omega$  развивается в условиях ползучести до значения  $\omega(t^*) = 1$ , соответствующего моменту разрушения.

Рост компонент  $\omega_k$  вектора  $\omega$  в рассматриваемых трубчатых образцах описывается кинетическими уравнениями

$$d\omega_k = \varphi(s_k, \omega_k, \omega) d\sigma_k + f(s_k, \omega_k, \omega) dt, \quad k = z, \theta \quad (9)$$

( $s_k$  — компоненты девиатора напряжений  $\sigma_k$  в главных осях).

Для различных программ кратковременного нагружения найдем значения  $\omega_0$ . При описании процесса кратковременного нагружения с помощью системы уравнений (9) введем прочностную анизотропию компонент  $\omega_z, \omega_\theta$  вектора  $\omega$ , т. е. будем считать, что равенство  $\omega_z = \omega_\theta$  выполняется в том случае, если компоненты девиатора напряжений удовлетворяют соотношению  $s_\theta = s_z/\alpha$  ( $\alpha \geq 1$ ). Введем поле приведенных компонент девиатора напряжений:  $\hat{s}_z = s_z/\alpha, \hat{s}_\theta = s_\theta$ . Тогда зависимость компонент  $\omega_k$  от приведенных компонент  $\hat{s}_k$  девиатора напряжений становится изотропной. Кинетические уравнения (9) представим в виде

$$d\omega_k = \begin{cases} (Q/(\sigma_{00})^{m+1})\omega_k^{-1}\omega^{2\beta}(\hat{s}_k)^m d\hat{\sigma}_k, & \hat{s}_k > 0, \\ 0, & \hat{s}_k \leq 0, \end{cases} \quad k = z, \theta, \quad (10)$$

$$\omega = \sqrt{\omega_z^2 + \omega_\theta^2}, \quad \omega(-0) = 0, \quad \omega(+0) = \omega_0, \quad \omega(t^*) = 1,$$

где  $\sigma_{00}$  — произвольная постоянная величина, имеющая размерность напряжения;  $\hat{s}_z, \hat{s}_\theta$  — компоненты девиатора приведенных напряжений;  $Q, m, \beta$  — постоянные безразмерные величины. Поскольку радиальное напряжение  $\hat{\sigma}_r \equiv 0$ , среднее напряжение  $\hat{\sigma} = (\hat{\sigma}_z + \hat{\sigma}_\theta + \hat{\sigma}_r)/3 = (\hat{\sigma}_z + \hat{\sigma}_\theta)/3 = (\sigma_z/\alpha + \sigma_\theta)/3$ . При этом выражения для девиаторов приведенных напряжений принимают вид

$$\hat{s}_z = \hat{\sigma}_z - \hat{\sigma} = (2\sigma_z - \alpha\sigma_\theta)/(3\alpha), \quad \hat{s}_\theta = \hat{\sigma}_\theta - \hat{\sigma} = (2\alpha\sigma_\theta - \sigma_z)/(3\alpha). \quad (11)$$

Согласно (10) накопление компонент  $\omega_k$  происходит только при положительных значениях компонент девиатора напряжений  $\hat{s}_z, \hat{s}_\theta$ . Подставляя формулы (11) в (10), при  $\hat{s}_z > 0, \hat{s}_\theta > 0$  получаем

$$\begin{aligned} 2\omega_z\omega^{-2\beta} d\omega_z &= (\omega_z^2 + \omega_\theta^2)^{-\beta} d\omega_z^2 = \frac{2Q}{(\sigma_{00})^{m+1}} (\hat{s}_z)^m d\hat{\sigma}_z = \\ &= \frac{2Q}{(\sigma_{00})^{m+1}} \left(\frac{2\sigma_z - \alpha\sigma_\theta}{3\alpha}\right)^m \left(\frac{1}{\alpha}\right) d\sigma_z, \\ 2\omega_\theta\omega^{-2\beta} d\omega_\theta &= (\omega_z^2 + \omega_\theta^2)^{-\beta} d\omega_\theta^2 = \frac{2Q}{(\sigma_{00})^{m+1}} (\hat{s}_\theta)^m d\hat{\sigma}_\theta = \\ &= \frac{2Q}{(\sigma_{00})^{m+1}} \left(\frac{2\alpha\sigma_\theta - \sigma_z}{3\alpha}\right)^m d\sigma_\theta. \end{aligned} \quad (12)$$

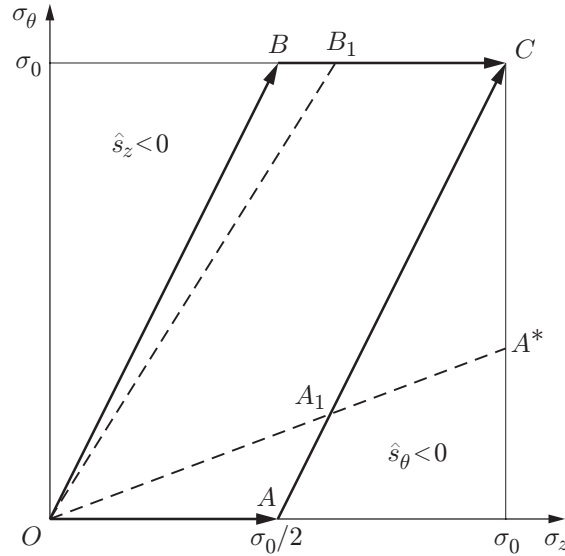


Рис. 1. Схема нагружения трубчатых образцов до достижения напряжения  $\sigma_z = \sigma_\theta = \sigma_0$  по двухзвенному пути (штриховые линии — границы областей  $\hat{s}_z < 0$ ,  $\hat{s}_\theta < 0$ )

Введем новые компоненты вектора поврежденности и безразмерные напряжения:  $\Omega_k = (2Q)^{0,5(\beta-1)} \omega_k$ ,  $\bar{\sigma}_k = \sigma_k / \sigma_{00}$ . Далее черта над безразмерными напряжениями опускается, и уравнения (12) принимают вид

$$\begin{aligned} (\Omega_z^2 + \Omega_\theta^2)^{-\beta} d\Omega_z^2 &= \frac{1}{\alpha} \left( \frac{2\sigma_z - \alpha\sigma_\theta}{3\alpha} \right)^m d\sigma_z, \\ (\Omega_z^2 + \Omega_\theta^2)^{-\beta} d\Omega_\theta^2 &= \left( \frac{2\alpha\sigma_\theta - \sigma_z}{3\alpha} \right)^m d\sigma_\theta. \end{aligned} \tag{13}$$

Следует отметить, что система уравнений (13) характеризует изменение величины  $\Omega$  только при положительных значениях компонент девиатора приведенных напряжений. Следовательно, справедливы неравенства

$$\hat{s}_z > 0, \quad 2\sigma_z - \alpha\sigma_\theta > 0, \quad \hat{s}_\theta > 0, \quad 2\alpha\sigma_\theta - \sigma_z > 0. \tag{14}$$

Исследуем систему уравнений (13) при нагружении трубчатых образцов по путям  $OAC$  и  $OBC$  (рис. 1) в диапазоне от ненагруженного состояния ( $\sigma_z = \sigma_\theta = 0$ ) до двухосного растяжения в точке  $C$  ( $\sigma_z = \sigma_\theta = \sigma_0$ ). В точках  $A$  и  $B$  напряжения  $\sigma_z, \sigma_\theta$  равны  $(\sigma_z)_A = (\sigma_z)_B = \sigma_0/2$ ,  $(\sigma_\theta)_A = 0$ ,  $(\sigma_\theta)_B = \sigma_0$ .

Рассмотрим путь нагружения  $OAC$ , представляющий собой двухзвенную ломаную (см. рис. 1). Вдоль этой ломаной ( $\hat{s}_z \geq 0$ ) компонента  $\Omega_z$  увеличивается, вдоль отрезка  $OA$  напряжение  $\hat{s}_\theta < 0$ , поэтому  $d\sigma_\theta = 0$ . Таким образом, при нагружении от точки  $O$  до точки  $A$  компонента  $\Omega_\theta = 0$ . На отрезке  $AC$  выделим точку  $A_1$ , которая разделяет области  $\hat{s}_\theta < 0$  (на отрезке  $AA_1$ ) и  $\hat{s}_\theta > 0$  (на отрезке  $A_1C$ ), при этом  $(\hat{s}_\theta)_{A_1} = 0$ . В точке  $A_1$  напряжения  $\sigma_z, \sigma_\theta$  равны  $(\sigma_z)_{A_1} = 2\alpha\sigma_0 / (4\alpha - 1)$ ,  $(\sigma_\theta)_{A_1} = \sigma_0 / (4\alpha - 1)$ . Таким образом, компонента  $\Omega_\theta$  увеличивается от нулевого значения только на отрезке  $A_1C$ . Вычислим в точке  $C$  напряжение  $\Omega_{OAC}$ , накопленное при нагружении вдоль ломаной  $OAC$ . Интегрируя первое уравнение системы (13), получаем

$$\int_0^{(\Omega_z)_{A_1}} \Omega_z^{-2\beta} d\Omega_z^2 = \frac{2^m}{\alpha(3\alpha)^m} \int_0^{\sigma_0/2} \sigma_z^m d\sigma_z + \frac{1}{\alpha(3\alpha)^m} \int_{\sigma_0/2}^{2\alpha\sigma_0/(4\alpha-1)} (2(1-\alpha)\sigma_z + \alpha\sigma_0)^m d\sigma_z. \tag{15}$$

Из равенства (15) находим

$$(\Omega_z^2)_{A_1} = \left[ \frac{(1-\beta)\sigma_0^{m+1}}{2(m+1)\alpha(1-\alpha)(3\alpha)^m} \left( \left( \frac{3\alpha}{4\alpha-1} \right)^{m+1} - \alpha \right) \right]^{1/(1-\beta)}.$$

В точке  $C$  при  $\sigma_z = \sigma_0$  проекции  $(\Omega_z)_C$ ,  $(\Omega_\theta)_C$  напряжения  $\Omega_{OAC}$  находятся из решения системы (13) с начальными условиями  $\Omega_z = (\Omega_z)_{A_1}$ ,  $\Omega_\theta = 0$ , в результате получаем  $\Omega_{OAC}^2 = (\Omega_z^2)_C + (\Omega_\theta^2)_C$ .

Рассмотрим путь нагружения  $OBC$ , также представляющий собой двухзвенную ломаную (см. рис. 1). Так как на отрезке  $OB$   $\hat{s}_z < 0$ , то  $\Omega_z = 0$ . На отрезке  $BC$  выделим точку  $B_1$ , удовлетворяющую условию  $(\hat{s}_z)_{B_1} = 0$ . Тогда  $(\sigma_z)_{B_1} = 0,5\alpha\sigma_0$ ,  $(\sigma_\theta)_{B_1} = \sigma_0$ . На отрезке  $BB_1$   $\hat{s}_z < 0$ , поэтому  $(\Omega_z)_{B_1} = 0$ . Таким образом, при нагружении вдоль ломаной  $OBC$  приращение  $d\Omega_z \neq 0$  имеет место только на отрезке  $B_1C$  ( $\hat{s}_z > 0$ ), компонента  $\Omega_\theta$  увеличивается от нулевого значения только на отрезке  $OB$ .

Вычислим в точке  $C$  значение  $\Omega_{OBC}$ , накопленное при нагружении вдоль ломаной  $OBC$ . Интегрируя второе уравнение системы (13) и учитывая, что на отрезке  $OB$   $\sigma_\theta = 2\sigma_z$ , находим

$$(\Omega_\theta^2)_B = \left[ \left( \frac{1-\beta}{m+1} \right) \left( \frac{4\alpha-1}{6\alpha} \right)^m \left( \frac{\sigma_0}{2} \right)^{m+1} \right]^{1/(1-\beta)}. \tag{16}$$

Интегрируя первое уравнение системы (13) при движении вдоль отрезка  $B_1C$ , получаем

$$(\Omega_z^2)_C = \left( \frac{(1-\beta)((2-\alpha)\sigma_0)^{m+1}}{2(m+1)\alpha(3\alpha)^m} + (\Omega_\theta^{2(1-\beta)})_B \right)^{1/(1-\beta)} - (\Omega_\theta^2)_B. \tag{17}$$

С учетом (16), (17) имеем  $(\Omega^2)_{OBC} = (\Omega_z^2)_C + (\Omega_\theta^2)_B$ .

Исследуем процесс накопления поврежденности для шести этапов последовательного приращения осевой силы и внутреннего давления с одинаковыми значениями приращения  $d\sigma_z = \sigma_0/6$  на каждом этапе пути  $ODEGNMC$ , представляющего собой многозвенную ломаную (рис. 2). Предварительно на плоскости  $(\sigma_z, \sigma_\theta)$  определим области, в которых соответствующие девиаторы (14) неотрицательны. Неравенство  $2\sigma_z - \alpha\sigma_\theta \geq 0$  соответствует области справа от прямой  $OB_1$  (точка  $B_1$  имеет координаты  $(\sigma_z)_{B_1} = 0,5\alpha\sigma_0$ ,

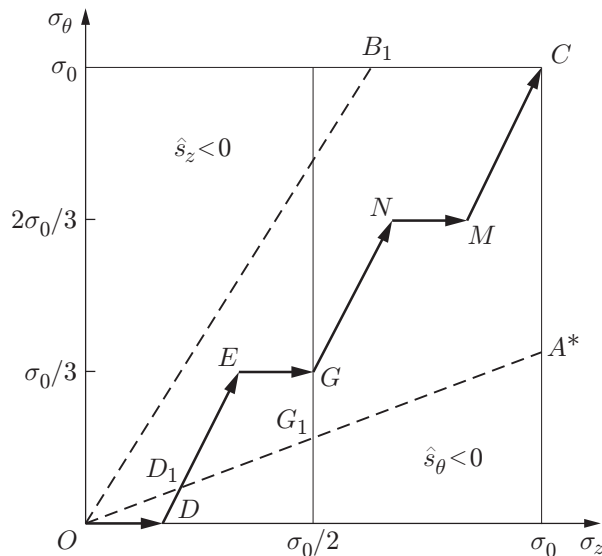


Рис. 2. Схема нагружения трубчатых образцов до достижения напряжения  $\sigma_z = \sigma_\theta = \sigma_0$  по многозвенному пути (штриховые линии — границы областей  $\hat{s}_z < 0$ ,  $\hat{s}_\theta < 0$ )

$(\sigma_\theta)_{B_1} = \sigma_0$ ), которая не ограничивает накопление поврежденности при рассматриваемом пути нагружения. Неравенство  $2\alpha\sigma_\theta - \sigma_z \geq 0$  соответствует области, находящейся выше прямой  $OA^*$  (точка  $A^*$  имеет координаты  $(\sigma_z)_{A^*} = \sigma_0$ ,  $(\sigma_\theta)_{A^*} = 0,5\sigma_0/\alpha$ ), которая пересекает отрезок прямой  $DE$  в точке  $D_1$ . Найдем координаты точки  $D_1$ : на отрезке прямой  $DE$   $\sigma_\theta = 2\sigma_z - \sigma_0/3$ , в точке  $D_1$   $\hat{\sigma}_\theta = [2\alpha(2\sigma_z - \sigma_0/3) - \sigma_z]/(3\alpha) = 0$ , следовательно,  $(\sigma_z)_{D_1} = 2\alpha\sigma_0/(3(4\alpha - 1))$ ,  $(\sigma_\theta)_{D_1} = \sigma_0/(3(4\alpha - 1))$ .

Докажем, что  $D_1$  — единственная точка пересечения прямой  $OA^*$  и ломаной  $ODEGNMC$ . Для этого определим координаты точки  $G_1$  пересечения прямых  $OA^*$  и  $\sigma_z = \sigma_0/2$ . Уравнение прямой  $OA^*$  имеет вид  $\sigma_z = 2\alpha\sigma_\theta$ . Ординаты точек  $G_1, G$  равны  $(\sigma_\theta)_{G_1} = \sigma_0/4\alpha$ ,  $(\sigma_\theta)_G = \sigma_0/3$ . Единственность точки  $D_1$  следует из неравенства  $(\sigma_\theta)_G > (\sigma_\theta)_{G_1}$  при  $\alpha > 3/4$ . Поскольку коэффициент анизотропии  $\alpha \geq 1$ , единственность точки  $D_1$  доказана. Вдоль ломаной  $ODD_1$  значение  $\Omega_\theta = 0$ . Интегрируя первое уравнение системы (13), получаем

$$(\Omega_z^2)_{D_1} = \left[ \frac{(1-\beta)\sigma_0^{m+1}}{2(m+1)3^m\alpha^{m+1}} \left( 1 + \frac{1}{1-\alpha} \left( \left( \frac{\alpha}{3(4\alpha-1)} \right)^{m+1} - \left( \frac{1}{3} \right)^{m+1} \right) \right) \right]^{1/(1-\beta)}.$$

На отрезке  $D_1E$  приращения  $d\Omega_z, d\Omega_\theta$  не равны нулю. В точке  $E$  при  $\sigma_z = \sigma_0/3$  проекции  $(\Omega_z)_E, (\Omega_\theta)_E$  определяются из решения (13) с начальными условиями  $\Omega_z = (\Omega_z)_{D_1}$ ,  $(\Omega_\theta)_{D_1} = 0$ . На отрезке  $EG$   $d\Omega_z > 0, d\Omega_\theta = 0$ ,  $(\Omega_\theta)_G = (\Omega_\theta)_E$ . В результате интегрирования первого уравнения системы дифференциальных уравнений (13) имеем

$$(\Omega_z^2)_G = \left( \frac{(1-\beta)\sigma_0^{m+1}}{2\alpha(m+1)(3\alpha)^m 3^{m+1}} ((3-\alpha)^{m+1} - (2-\alpha)^{m+1}) + \right. \\ \left. + ((\Omega_z^2)_E + (\Omega_\theta^2)_E)^{1-\beta} \right)^{1/(1-\beta)} - (\Omega_\theta^2)_E.$$

В точке  $N$  при  $\sigma_z = 2\sigma_0/3$  из решения (13) с начальными условиями  $\Omega_z = (\Omega_z)_G, \Omega_\theta = (\Omega_\theta)_E$  находим значения величин  $(\Omega_z)_N, (\Omega_\theta)_N$ , учитывая, что на отрезке  $GN$   $\sigma_\theta = 2\sigma_z - 2\sigma_0/3$ . На отрезке  $NM$   $d\Omega_z > 0, d\Omega_\theta = 0$ ,  $(\Omega_\theta)_M = (\Omega_\theta)_N$ . Интегрируя первое уравнение в (13), получаем

$$(\Omega_z^2)_M = \left( \frac{(1-\beta)\sigma_0^{m+1}}{2\alpha(m+1)(3\alpha)^m 3^{m+1}} ((5-2\alpha)^{m+1} - (4-2\alpha)^{m+1}) + \right. \\ \left. + ((\Omega_z^2)_N + (\Omega_\theta^2)_N)^{1-\beta} \right)^{1/(1-\beta)} - (\Omega_\theta^2)_N.$$

На отрезке  $MC$  выполняется равенство  $\sigma_\theta = 2\sigma_z - \sigma_0$ . Из решения (13) с начальным условием  $\Omega_z = (\Omega_z)_M$  находим напряжения  $(\Omega_z)_C$  и  $(\Omega_\theta)_C$ , накопленные вдоль ломаной  $ODEGNMC$ . По завершении нагружения по пути  $ODEGNMC$  напряжение принимает значение  $\Omega = \sqrt{(\Omega_z^2)_C + (\Omega_\theta^2)_C}$ .

При  $\alpha = 1,21, m = 3, \beta = 0,3, Q = 4686$  значения модуля вектора поврежденности  $\omega$ , накопленные в результате нагружения от точки  $O$  до точки  $C$  по различным путям, равны

$$\omega_{OAC} = 10^{-1}, \quad \omega_{ODEGNMC} = 8,9 \cdot 10^{-2}, \quad \omega_{OBC} = 7,5 \cdot 10^{-3}. \quad (18)$$

Определим увеличение компонент  $\omega_z, \omega_\theta$  вектора  $\omega$  в процессе ползучести материала при напряжениях  $\sigma_z = \sigma_\theta = \sigma_0$  до момента разрушения ( $t = t^*$ ). Для этого значения параметра  $\omega$  (18) примем в качестве начальных значений  $\omega_0 = \omega|_{t=0}$ . Второе слагаемое в уравнении (9) представим в виде

$$d\omega_k = \begin{cases} G\omega_k^{-1}\omega^{2\gamma}(\hat{\sigma}_k)^n dt, & \hat{\sigma}_k > 0, \\ 0, & \hat{\sigma}_k \leq 0, \end{cases} \quad k = z, \theta, \quad (19)$$

где  $G$ ,  $n$ ,  $\gamma$  — константы. В условиях двухосного растяжения ( $\sigma_z = \sigma_\theta = \sigma_0$ ) выражения для компонент девиатора приведенных напряжений принимают вид  $\hat{s}_z = (2 - \alpha)\sigma_0/(3\alpha)$ ,  $\hat{s}_\theta = (2\alpha - 1)\sigma_0/(3\alpha)$ . Складывая правые и левые части уравнений (19), находим

$$\omega^{-2\gamma} d\omega^2 = 2G(\hat{s}_z^n + \hat{s}_\theta^n) dt, \quad \omega|_{t=0} = \omega_0, \quad \omega(t^*) = 1. \quad (20)$$

Проинтегрировав равенство (20), получаем зависимость времени до разрушения  $t^*$  от поврежденности  $\omega_0$ :

$$t^* = \frac{(3\alpha)^n [1 - \omega_0^{2(1-\gamma)}]}{2G(1-\gamma)\sigma_0^n [(2-\alpha)^n + (2\alpha-1)^n]}. \quad (21)$$

При  $\sigma_0 = 60$  МПа,  $\alpha = 1,21$ ,  $G = 9,65 \cdot 10^{-4}$  (ч·МПа<sup>n</sup>)<sup>-1</sup>,  $\gamma = 0,99$ ,  $n = 2,04$  из уравнения (21) с учетом (18) получаем следующие значения времен до разрушения:  $t_{OAC}^* = 2,9$  ч,  $t_{ODEGNMC}^* = 3,1$  ч,  $t_{OBC}^* = 6,1$  ч. Эти значения удовлетворительно согласуются со средними временами до разрушения, полученными в экспериментах [2]:  $t_{OAC}^* = 2,5$  ч,  $t_{ODEGNMC}^* = 3,6$  ч,  $t_{OBC}^* = 6,1$  ч.

**Заключение.** Использование предложенных кинетических уравнений, содержащих векторный параметр поврежденности, позволяет получить хорошо согласующиеся экспериментальные и теоретические значения времен до разрушения при двухосном ( $\sigma_1 = \sigma_2 = \sigma_0 > 0$ ,  $\sigma_3 = 0$ ) растяжении. При этом в уравнениях накопления поврежденности впервые учитываются прочностная анизотропия материала и поврежденность, возникающая при кратковременном нагружении.

## ЛИТЕРАТУРА

1. Локощенко А. М., Мякотин Е. А., Шестериков С. А. Ползучесть и длительная прочность стали X18H10T в условиях сложного напряженного состояния // Изв. АН СССР. Механика твердого тела. 1979. № 4. С. 87–94.
2. Локощенко А. М. Исследование длительной прочности при сложном напряженном состоянии с помощью кинетического подхода // Вопросы долговременной прочности энергетического оборудования. Л., 1986. С. 107–109. (Тр. Центр. науч.-исслед. и проектно-конструкт. котло-турбинного ин-та (ЦКТИ) им. И. И. Ползунова; Вып. 230).
3. Hayhurst D. R. Creep rupture under multi-axial states of stress // J. Mech. Phys. Solids. 1972. V. 20, N 6. P. 381–390.
4. Наместникова И. В., Шестериков С. А. Векторное представление параметра поврежденности // Деформирование и разрушение твердых тел. М.: Изд-во Моск. ун-та, 1985. С. 43–52.
5. Черняк Н. И., Радченко Р. П., Гаврилов Д. А. и др. Влияние вида и степени пластической деформации на механические свойства высокопрочностных труб при низкотемпературной термомеханической обработке // Пробл. прочности. 1976. № 4. С. 51–54.
6. Локощенко А. М. Определение анизотропии при исследовании длительной прочности в условиях плоского напряженного состояния // Пробл. прочности. 1983. № 9. С. 71–73.

Поступила в редакцию 11/VI 2008 г.